

دانشور

پژوهشگی

مقایسه میزان انحراف کشکی و زاویه سولکوس بین بیماران مبتلا به سندروم درد کشکی رانی و افراد سالم با استفاده از تصویربرداری MRI

نویسنده‌گان: سمیه حسین‌زاده^۱، منصور اسلامی^{۲*}، محمد تقی‌پور^۳، راحله
مهرآین^۴

۱. دانشجوی دکترای بیومکانیک ورزشی، دانشکده علوم ورزشی، دانشگاه مازندران.
۲. دانشیار بیومکانیک ورزشی، دانشکده علوم ورزشی، دانشگاه مازندران.
۳. دانشیار فیزیوتراپی، مرکز تحقیقات اختلال حرکت، دانشگاه علوم پزشکی بابل.
۴. استادیار رادیولوژی، دانشگاه علوم پزشکی بابل.

E-mail: mseslami@gmail.com

* نویسنده مسئول: منصور اسلامی

چکیده

مقدمه و هدف: جایه‌جایی خارجی کشک و دیسپلازی تروکه آز مهمترین عوامل بدراستایی مرتبط با مفصل کشکی رانی (PFJ) گزارش شده است که می‌تواند منجر به افزایش نیروی فشاری در قسمت خارجی زانو و در نهایت آسیب این مفصل شود. بنابراین، هدف از مطالعه حاضر مقایسه میزان انحراف کشکی و نیز زاویه سولکوس که مستقیماً به شیار تروکه آمریکا مربوط می‌شود بین دو گروه سالم و مبتلا به سندروم درد کشکی رانی با روش غیرتهاجمی و دقیق MRI بود.

دوماهنامه علمی-پژوهشی
دانشگاه شاهد
سال بیست و چهارم-شماره ۱۳۰
شهریور ۱۳۹۶

مواد و روش‌ها: بیست و یک آزمودنی در دو گروه سالم و مبتلا موردمطالعه قرار گرفته‌اند. میزان انحراف کشک و زاویه سولکوس در زاویه ۴۰ درجه فلکسیون زانو با تصویربرداری MRI اندازه‌گیری شدند.

نتایج: نتایج نشان داد که میزان جایه‌جایی خارجی کشک در گروه بیمار نسبت به گروه سالم، افزایش معناداری داشت ($P=0.04$): در حالی که در میزان زاویه سولکوس اختلاف معناداری مشاهده نشد.

نتیجه‌گیری: عدم معناداری اختلاف میزان زاویه سولکوس بین دو گروه می‌تواند نشان‌دهنده این باشد که علت درد، ناشی از جایه‌جایی خارجی کشک در بیماران، کم‌عمق‌شدن ناودان تروکه آ نیست بلکه می‌تواند ناشی از ضعف عضلات باشد. با توجه به توانایی عضلات در کنترل جایه‌جایی خارجی کشک، تأخیر با ضعف عضله پهن مایل داخلی (VMO) یک فاکتور خطر بیومکانیکی برای جایه‌جایی نامناسب کشک است.

دریافت: ۱۳۹۶/۰۴/۰۷
آخرین اصلاح‌ها: ۱۳۹۶/۰۵/۱۴
پذیرش: ۱۳۹۶/۰۵/۲۲

واژگان کلیدی: سندروم درد کشکی، جایه‌جایی خارجی کشک، زاویه سولکوس، MRI.

مقدمه

پاتلار فمور، یک عامل مهم در تجانس مفصل کشکی رانی است، به طوری که سولکوس کم عمق غیرطبیعی، یک فاکتور مهم در بی ثباتی پاتلار است (۱۰). مفاصل نامتجانس اغلب ثبات لازم برای تحرک را نداشته و در نتیجه، مستعد آسیب پاتولوژیک مانند PFPS می باشند (۱۱).

الگوی تماسی و مفصلی بین کشک و شیار تروکه آ طی دامنه حرکتی زانو تغییر می کند، به طوری که بیشترین ثبات در بیش از ۴۵ درجه فلکسیون زانو فراهم می شود، جایی که کشک به سمت پایین حرکت می کند تا کاملاً در شیار تروکه آ قرار گیرد. در حالی که از لحاظ تئوری، زمانی که کشک طی فلکسیون زانو با دیستال شیار تروکه آ مفصل می شود، بار پشت کشک به بیشترین مقدار خود می رسد، نیروهای فشاری کاهش یافته و مفصل کشکی رانی ثبات کمتری داشته و کشک تماس نامنظمی با پروگزیمال شیار تروکه آ دارد (۱۱). به همین دلیل، تصویربرداری در زوایای اولیه از دامنه حرکتی مفصل زانو انجام می شود که استخوان کشک در بی ثبات ترین وضعیت خود می باشد و تحت تأثیر نیروهای وارده بر آن خصوصاً بردار خارجی زاویه Q، به سوی خارج کشیده می شود (۱۱).

برای تخمین میزان انحراف کشکی و نیز زاویه سولکوس که مستقیماً به شیار تروکه آ مربوط می شود، می توان از رادیوگرافی معمولی، سی تی اسکن و تصویربرداری رزونانس مغناطیسی (MRI) استفاده کرد. میزان زاویه سولکوس نرمال اندازه گیری شده با رادیوگرافی در مطالعه ساندرز و همکاران (۲۰۰۱) بین ۱۲۴ تا ۱۴۵ درجه گزارش شده است (۱۲). این محققان همچنین بیان کردند که جایه جایی خارجی کشک بیش از ۱۶ درجه به عنوان وضعیت غیرطبیعی در نمای skyline تشخیص آنومالی های مرتبط با بدراستایی کشک، ۱/۵ برابر حساس تر از رادیوگرافی است. اما در مقایسه با MRI دارای اشکالاتی است، از جمله اینکه اجازه

سندروم درد کشکی رانی (PFPS)^۱ یکی از شایع ترین اختلالات عضلانی اسکلتی در بین مراجعین به درمانگاه های ارتوبدی و طب ورزش است (۱) که با درد پشت زانو و یا اطراف زانو ناشی از استفاده بیش از حد و اضافه بار مفصل کشکی رانی و یا تغییرات بیومکانیکی یا عضلانی در این مفصل شناخته می شود. PFPS در نوجوانان و بزرگسالان بالغ به خصوص در ورزشکارانی که به طور منظم در فعالیت های ورزشی باشد بالا مانند دویدن، شرکت می کنند شایع تر است. استرودر و سامویل (۱۹۸۹) گزارش کردند که ۵۷ درصد تمام آسیب های زانو در دوندگان را شامل می شود (۲). استفاده بیش از حد از مفصل کشکی رانی یعنی فشار تحمل وزنی مکرر یا بیش از حد، می تواند به سندروم درد کشکی رانی به خصوص در دوندگان و سایر ورزشکاران مرتبط باشد که حین اسکات زدن و نشستن با زانوی خم، تشدید می شود (۳).

PFPS دارای سینماتیک متفاوتی از زانوی سالم است. در تحقیقات اخیر محققین، انحراف و جایه جایی خارجی کشک را به عنوان عامل خطر مهم در افراد مبتلا به PFPS گزارش کرده اند (۴، ۵). در این افراد، با افزایش فلکسیون زانو، نیروی بیش از حد ناشی از جایه جایی خارجی کشک به علت کاهش سطح تماس کشک به ران ممکن است منجر به افزایش تنش مفصلی در غضروف مفصلی و کاهش توانایی آن در توزیع نیروی فشاری مفصل کشکی رانی و در نهایت استئوار تریت شود (۶، ۷، ۸). سایر عوامل مرتبط با بدراستایی مکانیسم اکستنسوری شامل دیسپلازی تروکه آ رانی، دیسپلازی چهارسر رانی که با تیلت غیرطبیعی کشک نشان داده می شود و نیز افزایش بیش از حد فاصله بین توبرکول تیبیا و شیار تروکه آ می باشد (۹). موقعیت و شکل شیار بین کوندیلی تروکه آ در دیستال فمور از لحاظ بالینی در مکانیک و پاتومکانیک مفصل کشکی رانی حائز اهمیت است. شکل شیار سولکوس در سطح

1. Patellofemoral Pain Syndrome

هیچ‌گونه سابقه‌ای از درد زانو را گزارش نکنند (۱۶). تمام آزمودنی‌های این مطالعه پس از امضای فرم رضایت‌نامه، آگاهانه در این تحقیق شرکت کردند. سپس اطلاعات مربوط به هر بیمار، شامل نام و نام خانوادگی، سن، شدت درد، سمت دردناک و مدت درد گرفته شد. افراد سالم نیز به صورت همسان‌شده با افراد بیمار (از لحاظ سن، قد، وزن و عدم ناهنجاری ساختاری در اندام تحتانی) انتخاب شدند. آزمون بالینی Clark جهت بررسی و ایجاد درد در بیماران توسط آزمونگر انجام شد (۱۷).

MRI

آزمودنی‌ها در وضعیت خوابیده به‌پشت، داخل یونیت MRI ۱/۵ تسلایا، مدل GE، ساخت کشور آمریکا) در مرکز MRI حکومت بیمارستان آیت‌الله روحانی بابل قرار گرفتند. پای موردمطالعه از گودی زانو تا دوسوم ران (تقریباً ۱۸ سانتی‌متر بالاتر از انتهای پروگزیمال کشکی) در وضعیت ۴۰ درجه فلکشن زانو اسکن شد. پارامترهای پذیرش MRI کاربردی شامل زمان اکو ۱۰ میلی‌ثانیه، زمان تکرار ۷۰۰ میلی‌ثانیه، زاویهٔ فلیپ ماتریکس ۳۵ درجه و ماتریکس 256×200 پیکسل و یک میدان دید ۲۲۰ میلی‌متری، ضخامت ۵ میلی‌متری و فاصلهٔ بین اسالیس‌ها ۱ میلی‌متر بود. کل زمان اسکن ۶ دقیقه بود. بازسازی سه‌بعدی از برش دو بعدی MRI با استفاده از نرم‌افزار خاص سیستم انجام شد.

اندازه‌گیری میزان زاویهٔ سولکوس فمورال زاویهٔ سولکوس از تقاطع خطوطی که بالاترین نقطهٔ اتصال کوندیل‌های داخلی و خارجی استخوان ران را به عمیق‌ترین نقطهٔ شیار تروکه آ متصل می‌کند به دست می‌آید (شکل ۱). زاویهٔ سولکوس طبیعی در ۴۵ درجهٔ فلکشن زانو ۱۳۸ درجه می‌باشد (۱۸).

اندازه‌گیری میزان جابه‌جایی خارجی کشک

چندین زاویه برای اندازه‌گیری بدراستایی کشکی به کار می‌رود که یکی از رایج‌ترین آن‌ها Congruence Angle (CA) است که برای اندازه‌گیری جابه‌جایی خارجی کشکی به کار می‌رود (۱۹). برای محاسبه این زاویه، زاویهٔ سولکوس به دو قسمت تقسیم می‌شود (به عنوان خط مرجع) و خط دوم از رأس زاویهٔ

تصویربرداری از مورفولوژی غضروف را که برای تجانس مفصلی و در نتیجه ثبات مفصلی ضروری است نمی‌دهد (۱۳). مزیت روش MRI تصویربرداری انتخابی برای ارزیابی شیار تروکه آ در زانو می‌باشد (۱۴) و علاوه بر ارزیابی دقیق‌تر مورفولوژی غضروفی، اجازه تصویربرداری سه بعدی جابه‌جایی کشک بدون مواجهه با اشعه را می‌دهد (۱۴، ۱۳).

با توجه به مزایای مطرح شده MRI نسبت به سایر روش‌های اندازه‌گیری و از آنجایی که تاکنون میزان انحراف کشک و نیز زاویهٔ سولکوس با روش MRI اندازه‌گیری نشده است، هدف مطالعهٔ ما اندازه‌گیری و مقایسهٔ این متغیرها با استفاده از روش غیرتهاجمی و دقیق MRI در زانوی افراد سالم و مبتلا به سندروم درد مفصل کشکی رانی در زاویهٔ فلکسیون ۴۰ درجه است.

مواد و روش‌ها

در این مطالعه ۲۱ نفر (دامنه سن: ۵۰ تا ۲۰ سال) در دو گروه سالم (۱۰ نفر) و مبتلا به درد مفصل کشکی رانی (۱۱ نفر) قرار گرفتند. روش نمونه‌گیری از نوع غیراحتمالی ساده و گروه‌بندی به روش مشابه‌سازی بود. با توجه به این که بیومکانیک مفصل کشکی رانی و راستای حرکتی استخوان کشک در هر دو جنس یکسان است (۱۵)، بنابراین در این مطالعه از هر دو جنس شرکت داده شده‌اند (مرد، زن). معیارهای ورود افراد بیمار برای مطالعه عبارت بودند از: ۱. وجود درد در خلف کشک یا قدام زانو که طی فعالیت‌هایی مانند نشستن طولانی مدت، دویدن و لی‌لی کردن، بالا و پایین رفتن از پله و زانوزدن تشید شود؛ ۲. وجود درد در زمان لمس فاستهای کشک؛ ۳. ایجاد درد با انجام دادن آزمون بالینی Clark برای بیمار. معیارهای خروج افراد بیمار عبارت بودند از: ناهنجاری ساختاری در اندام تحتانی (لگن، زانو و مج پا)، سابقهٔ شکستگی در مفصل زانو، جراحی زانو، محدودیت حرکتی مفصل زانو و دررفتگی یا نیمه دررفتگی کشک. معیارهای ورود افراد سالم عبارت بودند از: افراد سالم شرکت‌کننده در تحقیق، در زمان انجام آزمون‌ها

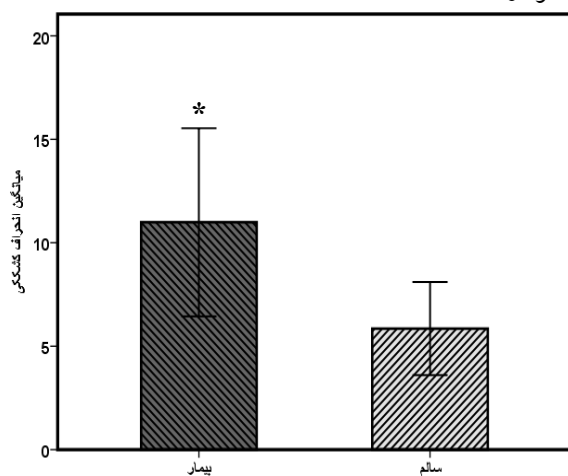
بوده‌اند ($P = 0.93$) و ($P = 0.77$)، به ترتیب) (جدول ۱).

جدول شماره ۱. اطلاعات دموگرافیک گروه‌های مورد مطالعه

| متغیر | PFPS | گروه سالم | سطح معنی‌داری |
|----------|----------------|----------------|---------------|
| سن (سال) | $30/9 \pm 6/8$ | $30/1 \pm 5/9$ | $+0.77$ |
| BMI | $23/8 \pm 1/8$ | $23/6 \pm 3/7$ | $+0.93$ |

BMI: شاخص توده بدنی

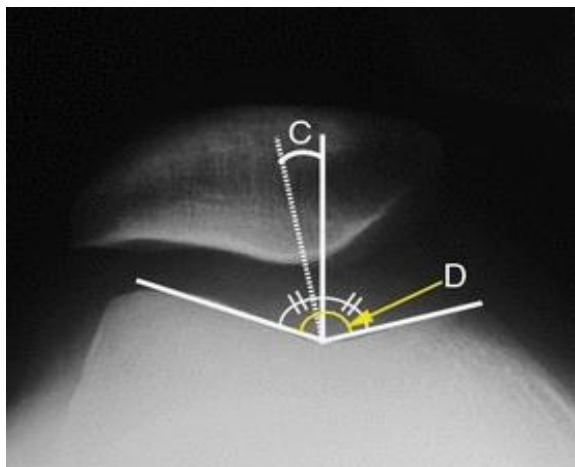
میانگین جابه‌جایی خارجی کشک در گروه سالم $5/8 \pm 3/1$ درجه و در گروه بیمار $10/9 \pm 6/7$ درجه بوده که مقادیر آن در گروه بیمار 86 درصد بالاتر از گروه سالم بود که این اختلاف از لحاظ آماری معنادار بود ($P=0.04$). (نمودار ۱).



نمودار ۱. مقدار جابه‌جایی خارجی کشک در دو گروه سالم و بیماران مبتلا به PFPS
* معناداری در سطح <0.05

میانگین زاویه سولکوس آن در گروه سالم $5/9 \pm 9/9$ درجه و در گروه بیمار $7/9 \pm 9/1$ درجه بود که آزمون آماری نشان می‌دهد که بین دو گروه اختلاف معناداری وجود نداشت ($P=0.32$). (نمودار ۲).

سولکوس به پایین‌ترین قسمت کشک کشیده می‌شود. در صورتی که طی دامنه حرکتی، رأس کشک خارج خط مرجع قرار گیرد، مقادیر مثبت و در صورتی که داخل خط مرجع قرار گیرد، مقادیر منفی ثبت می‌گردد (شکل ۱). زاویه تطبیق طبیعی در 45 درجه فلکشن زانو -6 درجه می‌باشد (۱۸).



شکل ۱. روش اندازه‌گیری میزان جابه‌جایی خارجی کشک.

C: زاویه سولکوس. D: میزان جابه‌جایی خارجی کشک

روش کمی و آماری

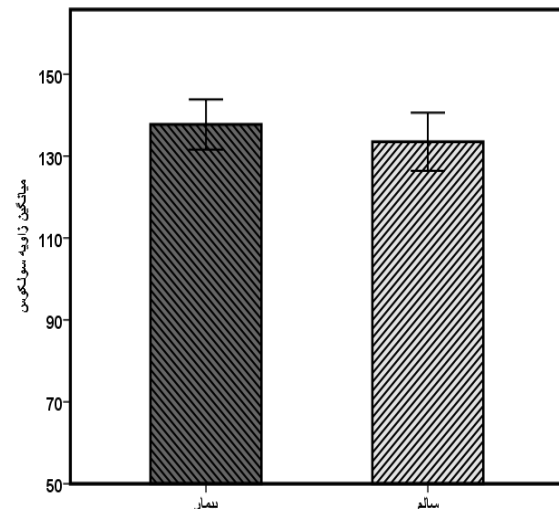
ابتدا برای بررسی نرمال‌بودن داده‌ها از آزمون شاپیروویک استفاده شد. پس از تأیید نرمال‌بودن داده‌ها ($p \leq 0.05$)، برای مقایسه متغیرهای موردمطالعه بین دو گروه سالم و مبتلا به سندروم درد مفصل کشکی رانی از روش آماری t-test مستقل و برای بررسی ارتباط بین متغیرهای موردمطالعه از روش آماری پیرسون استفاده شد.

نتایج

در این مطالعه ۲ گروه سالم و مبتلا به سندروم درد کشکی رانی شرکت داشتند که میانگین سنی آنها در گروه اول $30/1 \pm 5/9$ سال و در گروه دوم $23/8 \pm 1/8$ سال و شاخص توده بدنی آنها در گروه اول $23/6 \pm 3/7$ و در گروه دوم $23/8 \pm 1/8$ بوده است که همان طور که در جدول دموگرافیک آمده است، نتایج -t test مستقل نشان می‌دهد که میانگین سنی، قد و وزن دو گروه تفاوت معناداری با هم نداشته و گروه‌ها همسان

موجب نگهداری کشکک در مقابل فمور در وضعیت اکستنشن می‌شود و کشش خارجی VL را خشی می‌کند. در نتیجه، مورفولوژی غیرطبیعی تروکه آ، جانب خارجی استخوان که به عنوان عامل محدودکننده کشش خارجی VL عمل می‌کند، از بین می‌رود. بنابراین، کشکک به طور مناسب تماس پیدا نمی‌کند و تمایل به دررفتگی به سمت خارج در اکستنشن و فلکشن ابتدایی حین حرکت زانو دارد (۷). با توجه به توانایی عضلات برای کنترل جابه‌جایی خارجی کشکک، تأخیر یا ضعف عضله پهن مایل داخلی (VMO) یک فاکتور خطر بیومکانیکی برای جابه‌جایی نامناسب کشکک است (۱). در مطالعه مرچانت (۱۹۹۱)، زاویه سولکوس طبیعی به دست آمده با رادیوگرافی، ۱۳۸ درجه گزارش شده، در حالی که نتایج مطالعه‌ما که با اندازه‌گیری‌های MRI به دست آمده است، چند درجه کمتر را نشان داده است (۲۰) که به نظر می‌رسد تفاوت در تکنیک‌های مورداستفاده برای اندازه‌گیری می‌تواند موجب تفاوت در مقادیر گزارش شده شود، در حالی که یافته‌های مارتینو و همکاران در سال ۱۹۹۵ نشان داده‌اند میانگین زاویه سولکوس در افراد سالم ۱۳۲ درجه است که با نتایج مطالعه‌ما همسوست (۲۱). پاورز در سال ۲۰۰۰ زن مبتلا به سندرم درد کشککی رانی و ۱۲ زن سالم را با هم مقایسه کرده و هم راستا با پژوهش حاضر دریافتند که اگرچه بین زوایای سولکوس دو گروه، تفاوت معناداری وجود ندارد؛ اما شیار کم‌عمق‌تر می‌تواند با افزایش تیلت و جابه‌جایی خارجی کشکک همراه باشد که هر دو را می‌توان به پاتوژنی سندرم درد کشککی رانی مرتبط دانست (۲۲).

اگرچه درمورد منشأ درد در افراد مبتلا توافق نظر وجود ندارد؛ ولی بدراستایی شامل افزایش جابه‌جایی خارجی کشککی رانی شود (۱). نتیجه بدراستایی خارجی مفصل کشککی رانی ایجاد تنش‌های غیرمطلوب و بیش مفصل کشککی رانی ایجاد تنش‌های غیرمطلوب و بیش از حد و نیز نیروهای برشی است که بیشتر از آستانه فیزیولوژیکی بافت‌ها است و می‌تواند منجر به آسیب



نمودار ۲. مقدار زاویه سولکوس در دو گروه سالم و بیماران مبتلا به PFPS

همچنین نتایج آزمون آماری پیرسون در این مطالعه نشان دهنده عدم وجود ارتباط معنادار بین دو متغیر جابه‌جایی خارجی کشکک و زاویه سولکوس بوده است ($P = .71$).

بحث

مطالعه حاضر به بررسی ارتباط بین راستای کشکک و شیار سولکوس اندازه‌گیری شده توسط MRI در افراد مبتلا به سندرم درد کشککی رانی می‌پردازد. بر اساس نتایج این مطالعه، میانگین جابه‌جایی خارجی کشکک بین آزمودنی‌های دو گروه، اختلاف معناداری دارد، در حالی که در میزان زاویه سولکوس بین دو گروه تفاوت معناداری مشاهده نشده است که می‌تواند نشان‌دهنده این باشد که علت درد ناشی از جابه‌جایی خارجی کشکک در بیماران، کم‌عمق‌شدن ناودان تروکه آ رانی نیست. از طرف دیگر تصاویر مورفولوژی زانو نشان داد که شکل استخوان کشکک و کوندیل‌های استخوان ران در تصاویر MRI طبیعی است و با توجه به این که بیماران دچار کوتاهی عضلانی نبودند؛ بنابراین، درد ناشی از جابه‌جایی خارجی کشکک احتمالاً می‌تواند به علت ضعف عضلات باشد (۱). عضلات پهن مایل داخلی (VMO) و خارجی (VL) دو تا از مهم‌ترین ثبات‌دهنده‌های دینامیکی را تشکیل می‌دهند. VMO

در افراد سالم -۶- گزارش کردند. لازم به ذکر است که آن‌ها افراد مبتلا به PFPS را موردمطالعه قرار ندادند (۲۹). همسو با مطالعه ما، اجلیتی و همکاران نیز در سال ۱۹۸۳ گزارش کردند که میانگین زاویه تجانس در افراد مبتلا به PFPS نسبت به افراد سالم بالاتر است آن‌ها در مطالعه خود از رادیوگرافی نمای Merchant در ۴۵ درجه فلکشن زانو، استفاده کردند (۳۰). در مقابل، تامی و همکاران در سال ۱۹۹۵ هیچ تفاوت معناداری در راستای کشک بین ۴۰ زن مبتلا به PFPS و ۲۰ آزمودنی سالم که با سی‌تی‌اسکن اندازه‌گیری کردند مشاهده نکردند (۳۱). همسو با این مطالعه، لاپراد و کالهام نیز در سال ۲۰۰۳ با استفاده از رادیوگرافی نشان دادند که هیچ تفاوت معناداری در راستای کشک بین آزمودنی‌های گروه سالم و مبتلا به PFPS وجود ندارد (۳۲). ابراهیمی و همکاران در سال ۱۳۹۴ میانگین زاویه تجانس اندازه‌گیری شده با رادیوگرافی در ۳۰ درجه فلکشن زانو در افراد سالم -۸ و در افراد مبتلا به PFPS -۱۱ گزارش کردند که این اختلاف از لحاظ آماری معنادار نبود (۳۳). استفاده از تکنیک‌های تصویربرداری متنوع در زوایای مختلف فلکشن زانو ممکن است عاملی جهت دستیابی به نتایج متناقض در مطالعات مختلف باشد.

در دهه اخیر، ما شاهد استفاده روزافزون MRI برای ارزیابی مفصل کشکی رانی هستیم. این روش غیرتهاجمی به توسعه درک ما از شکل دقیق کشک و غضروف فمورال کمک می‌کند (۳۴). MRI نسبت به رادیوگرافی مرسوم در بررسی شکل شیار تروکه آ بهتر است؛ زیرا رادیوگرافی SKYLINE تنها قسمت تحتانی شیار سولکوس را بررسی می‌کند که نشانده‌نده مورفولوژی دقیق تروکه آ نیست. اگرچه باید دقت داشت که سولکوس تروکه آ از یک بیمار به بیمار دیگر به علت تفاوت در اندازه زانو و ابعاد پروگزیمال غضروف تروکه آ متفاوت است (۳۵). در فلکسیون ابتدایی زانو، فاکتورهای آناتومیکی مانند دیسپلازی تروکه آ و ابنورمالی‌های بافت نرم که موجب محدودیت

غضروف، تغییرات تخریبی، استرین ساختارهای لیگامانی و جابه‌جایی خارجی کشک شود (۲۳، ۲۴) که می‌تواند علت درد را در دامنه وسیعی از فعالیت‌ها در بیماران مبتلا به سندروم درد مفصل کشکی رانی توجیه کند (۲۵). بهنظر می‌رسد درد ناشی از بدراستایی کشک با فاکتورهای متعددی در ارتباط باشد که منجر به تظاهرات بالینی مختلف می‌شود که درک این فاکتورها می‌تواند علت شکست روش‌های کاهش درد را توسط روش‌های اصلاح راستای کشک توضیح دهد.

مطالعات اولیه نشان دادند که انقباض عضله چهارسر رانی با زانوی اکستندرشده می‌تواند موجب افزایش یا کاهش تیلت کشک و نیز جابه‌جایی کشک به سمت داخل یا خارج در افراد سالم شود. در بیماران با جابه‌جایی خارجی کشک، اثر انقباض عضله چهارسرانی روی تیلت کشک مشابه با افراد سالم است؛ ولی میزان جابه‌جایی خارجی کشک، معمولاً بیشتر است (۲۶). یک مفهوم مهم در عملکرد مفصل کشکی رانی زاویه Q است. میزان و همکاران در سال ۲۰۰۱ در یک مطالعه بیومکانیکی نشان دادند که زمانی که زانو بین ۲۰ تا ۶۰ درجه خم می‌باشد، افزایش زاویه Q می‌تواند سبب جابه‌جایی کشک به سمت خارج و در نهایت موجب افزایش نیروهای تماسی در قسمت خارجی مفصل کشکی رانی شود (۲۷). به طوری که هوبرتی و هایس (۱۹۸۴) گزارش کردند که افزایش ۱۰ درصدی زاویه Q موجب افزایش تنش در مفصل کشکی رانی به میزان ۴۵ درصد می‌شود. افزایش نیروی فشاری می‌تواند موجب سندروم درد کشکی رانی و در درازمدت موجب تخریب غضروف مفصلی کشک شود (۲۸).

مرچانت و همکاران در سال ۱۹۷۴ یک تکنیک رادیوگرافی جدید را برای مقایسه موقعیت کشک در ۲۵ زانوی مبتلا به دررفتگی مکرر کشک با ۲۰۰ زانوی سالم به کار برندند و میانگین زاویه تجانس را به عنوان میزان جابه‌جایی خارجی کشک در افراد مبتلا و +۲۳ و

در چند زاویه انجام شود. نتیجه‌گیری

در این مطالعه میزان بدراستایی کشک و مورفولوژی غضروف مفصلی با ابزار دقیق و معتبر MRI اندازه‌گیری و نشان داده شده است که علی‌رغم جابه‌جایی خارجی کشک در افراد مبتلا به سندرم درد کشکی رانی، زاویه سولکوس تغییر قابل توجهی نداشته است. بنابراین با توجه به نتایج مطالعه حاضر می‌توان اذعان داشت انحراف کشک ارتیاطی با کم‌عمق‌شدن زاویه سولکوس نداشته بلکه احتمالاً می‌تواند به عوامل دیگری از جمله ضعف عضلات به خصوص VMO مرتبط باشد که باید در درمان این سندرم مدنظر قرار داد.

تشکر و قدردانی

بدین وسیله از جانب آقای همت قلی‌نیا جهت ارائه مشاوره آماری این تحقیق کمال تشکر و قدردانی را داریم.

این مقاله برگرفته از رساله دوره دکتری بیومکانیک ورزشی دانشکده علوم ورزشی دانشگاه مازندران بود. بدین وسیله نویسندهان مراتب سپاس خود را از تمام کسانی که در پیشبرد اهداف رساله کمک‌رسانی نموده‌اند، اعلام می‌دارند.

منابع

- Barton Ch, Balachandar V, Lack S, Morrissey D, Barton C, et al. Patellar taping for patellofemoral pain: a systematic review and meta-analysis to evaluate clinical outcomes and biomechanical mechanisms. *Journal of Sports Medicine* 2014; 48: 417-24
- Strother RT, Samoil D. Patellofemoral syndrome: therapeutic regimen based on biomechanics. *Canadian Family Physician* 1989; 35: 1649-54
- Nejati P, Forogh B, Moeineddin R, Baradaran HR, Nejati M. Patellofemoral Pain Syndrome in Iranian Female Athletes. *Acta Medica Iranica* 2011; 49(3):169-72
- Wittstein JR, Bartlett EC, Easterbrook J, Byrd JC. Magnetic Resonance Imaging Evaluation of Patellofemoral Malalignment. *Arthroscopy: The Journal of Arthroscopic and Related Surgery* 2006; 22(6): 643-9
- Halabchi F, Mazaheri R, Seif-Barghi T. Patellofemoral Pain Syndrome and Modifiable Intrinsic Risk Factors. How to Assess and Address? *Asian Journal of Sports Medicine* 2013; 4 (2): 85-100
- Saper MG, Shneider DA. Diagnosis and Treatment of Lateral Patellar Compression Syndrome. *Arthroscopy Techniques* 2014; 3(5): 633-38
- Escamilla RF, Zheng N, MacLeod TD, Edwards WB, Hreljac A, Fleisig GS, et al. Patellofemoral compressive force and stress during the forward and side lunges with and without a stride. *Clinical Biomechanics* 2008; 23: 1026-37
- Brazaitis A, Tamosiunas A, Tutkuvienė J. Patellofemoral joint biomechanics in the females with anterior knee pain applying full weight bearing kinematic MRI. *Acta Medica Lituanica* 2015; 22(1): 47-53
- Davies AP, Costa ML, Donnell ST, Glasgow MM, Shepstone L. the sulcus angle and malalignment of the extensor mechanism of the knee. *Journal of Bone Joint Surgery* 2000; 82-B: 1162-6
- Murshed KA, Cicekcibasi AE, Züylan T, Karabacakoulu A Femoral Sulcus Angle Measurements: An Anatomical Study of Magnetic Resonance Images and Dry Bones. *Turkish Journal of Medical Sciences* 2004; 34: 165-9
- Teichtahl AJ, Parkins K, Hanna F, Wluka AE, Urquhart DM, English DR, Giles GG, Ciccuttini FM. The relationship between the angle of the trochlear groove and patella cartilage and bone morphology e a cross-

کشک می‌شود، بیشترین اثر را در رדיابی نامناسب دارند (۳۶). در این راستا مولتر و همکاران تصویربرداری MRI زانو را در زوایای ۲۰ و ۴۵ درجه فلکسیون انجام دادند (۳۷) هرچند معمولاً MRI بالینی زانو در وضعیت سوپاین با زانوی کاملاً صاف گرفته می‌شود؛ اما چون در این وضعیت، کشک در برابر سولکوس تروکه آ قرار نمی‌گیرد و اندازه‌گیری دقیق صورت نمی‌گیرد؛ بنابراین، تصویربرداری MRI زانو در این مطالعه در ۴۰ درجه فلکسیون انجام شده است.

مطالعه ما دارای محدودیت‌هایی بوده، از جمله کم‌بودن تعداد آزمودنی‌ها که بر اساس مطالعات قبلی (۳۰، ۳۱) و نیز گران‌بودن روش تصویربرداری MRI از این تعداد آزمودنی استفاده شده است. از محدودیت‌های دیگر این مطالعه، این بود که تصویربرداری MRI در وضعیت خوابیده به پشت از بیماران گرفته شد نه در وضعیت تحمل وزن. این محدودیت احتمالاً شانس ما را برای اندازه‌گیری تغییرات دینامیکی وضعیت کشک با تحمل وزن کاهش می‌دهد (۳۴). مطالعات بیشتری برای بررسی راستای مفصل کشکی رانی ترجیحاً در وضعیت‌های عملکردی تر نسبت به وضعیت سوپاین و غیرتحمل وزن، مورد نیاز است. همچنین، پیشنهاد می‌شود در مطالعات آتی برای رדיابی جابه‌جایی کشک حین فعالیت‌های دینامیکی مانند دویدن، تصویربرداری MRI

- sectional study of healthy adults. *OsteoArthritis and Cartilage* 2007; 15:1158-62
12. Sanders TG, Loredo R, Grayson D. computed tomography and magnetic resonance imaging evaluation of patellofemoral instability. *Operative Techniques in Sports Medicine* 2001; 9 (3): 152-163.
 13. Nicolaas L, Tigchelaar S, Koeter S. Patellofemoral evaluation with magnetic resonance imaging in 51 knees of asymptomatic subjects. *Knee Surgery, Sports Traumatology, Arthroscopy* 2011; 19: 1735-39
 14. McCarthy MM. & Strickland SM. Patellofemoral pain: an update on diagnostic and treatment options. *Current Reviews in Musculoskeletal Medicine* 2013; 6:188-194
 15. Goharpei SH, Jabal Amoli M, Karimi H, Hadizadeh Kharrazi H, Ebrahimi Takamjani E. Evaluation Of Patellar Tracking During Knee Range Of Motion In Patients With Patellar Lateralization And Normal Subjects. *Tehran University Medical Journal* 2004; 62(3): 204-10 [Full text in Persian]
 16. Ebrahimi Takamjani E, Salavati M.,Mokhtarinia HR, Dadgou M. The Effect of Patellar Taping on Knee Joint Proprioception in PFPS and Healthy Subjects. *Journal of Iran University of Medical Sciences* 2004; 11(40): 185-194 [full text in Persian]
 17. Banan M, Talebi GA, Taghipour Darzinaghibi M. A Study on the Effects of Patellar Taping on Pain, Quality of Life, and Radiographic Findings in Patients with Patellofemoral Pain Syndrome. *Journal of Babol University Medical Sciences* 2016; 18(1): 18-24. [Full text in Persian]
 18. Chhabra A, Subhawong Ty K, Carrino JA. A systematized MRI approach to evaluating the patellofemoral Joint. *Skeletal Radiology* 2011; 40(4): 375-87
 19. Carson WG, James SL, Larson RL, Singe KM, Winternitz WW. Patellofemoral disorders: physical and radiographic evaluation, part ii: radiographic Examination. *Clinical Orthopaedics and Related Research* 1982; 185: 178-86
 20. Merchant AC. Patellofemoral Disorders: Biomechanics, Diagnosis and Nonoperative Treatment. *Operative Arthroscopy* (Ed. McGinty JB) Raven Press. New York 1991: 261-75.
 21. Martino F, De Serio A, Macarini L et al. The sulcus angle of the femoral trochlea: ultrasonographic evaluation. *Radiologia Medica (Torino)* 1995; 3: 215-8.
 22. Powers CM. Patellar kinematics, Part II: The influence of the depth of the trochlear groove in subjects with and without patellofemoral pain. *Phys Ther* 2000;80(10): 965-73.
 23. Freedman B, Sheehan F. Predicting three-dimensional patellofemoral kinematics from static imaging-based alignment measures. *Journal of Orthopaedic Research* 2013; 31(3): 441-7
 24. Chen Yu-Jen. Biomechanical determinants of patellofemoral joint forces. *University of Southern California* 2008; 3331304: 123 pages .
 25. Mostamand J, Bader DL, Hudson Z. Reliability testing of the patellofemoral joint reaction force (PFJRF) measurement in taped and untaped patellofemoral conditions during single leg squatting: A pilot study. *Journal of Bodywork & Movement Therapies* 2011; 15: 502-6
 26. Koskinen SK, Taimela S, Nelimarkka O, Komu M. Magnetic resonance imaging of patellofemoral relationships. *Skeletal Radiol* 1993; 22:403-410.
 27. Tsakoniti AE, Mandalidis DG, Athanasopoulos SI, Stoupis CA. Effect of Q-angle on patellar positioning and thickness of knee articular cartilages. *Surgical and Radiologic Anatotomy* 2011; 33(2):97-104
 28. Almeida GP, Silva AP, França FJ, Magalhães MO, Burke TN, Marques AP. Q-angle in patellofemoral pain: relationship with dynamic knee valgus, hip abductor torque, pain and function. *Revista Brasileira de Ortopedia* 2016; 9:51(2):181-6
 29. Merchant AC, Mercer RL, Jacobsen RH, Cool CR. Roentgenographic analysis of patellofemoral congruence. *Journal of Bone & Joint Surgery*. 1974;56:1391-1396.
 30. Aglietti P, Insall JN, Cerulli G. Patellar pain and incongruence. I: Measurements of incongruence. *Clinical Orthopaedics and Related Research*. 1983;217-224.
 31. Thomee R, Renstrom P, Karlsson J, Grimby G. Patellofemoral pain syndrome in young women. I. A clinical analysis of alignment, pain parameters, common symptoms and functional activity level. *Scandinavian Journal of Medicine & Science in Sports*. 1995;5:237-244.
 32. Laprade J, Culham E. Radiographic measures in subjects who are asymptomatic and subjects with patellofemoral pain syndrome. *Clinical Orthopaedics and Related Research*. 2003;172-182.
 33. Ebrahimi Z, Akbari M, Amiri A. Evaluation of Patellofemoral alignment in patellofemoral pain syndrome. *Journal of Rehabilitation Medicine* 2016; 4(4): 11-19. [Full text in Persian]
 34. Kalichman L, Zhu Y, Zhang Y, Niu J, Gale D, Felson DT, Hunter D. The association between patella alignment and knee pain and function: an MRI study in persons with symptomatic knee osteoarthritis. *OsteoArthritis and Cartilage* 2007; 15: 1235-40
 35. McHale PL, LaRoque ES, McGarry MH, Schulz MS, Lee TQ. MRI Analyses of the Gender Differences in the Patellofemoral Joint. 49th Annual Meeting of the Orthopaedic Research Society 2003; Poster #1252. February 2-5, New Orleans
 36. Elias DA, Whiteb LM. Imaging of patellofemoral disorders. *Clinical Radiology* 2004; 59: 543-557
 37. Muellner T, Funovics M, Nikolic A, Metz V, Schabus R, Vecsei V. Patellar alignment evaluated by MRI . *Acta. Orthopaedica Scandinavica* 1998; 69:489-92

Comparison of patellar deviation and sulcus angle between healthy subjects and patellofemoral pain syndrome patients using MRI

Somayeh Hosseinzadeh¹, Mansour Eslami^{1*}, Mohammad Taghipour², Raheleh Mehr Aein³

1. Faculty of Sport Sciences, University of Mazandaran, Iran.
2. Mobility Impairment Research Center, Babol University of Medical Sciences, Iran.
3. Department of Radiology, Babol University of Medical Sciences, Iran.

* Corresponding author e-mail: mseslami@gmail.com

Abstract

Background and Objective: It has been reported that patella lateralization and trochlear dysplasia are the most important malalignment factors related to patellofemoral joint (PFJ) that may lead to high compression force on lateral side of knee and finally damaging this joint. The aim of this study was the comparison of the patella deviation and sulcus angle between two groups of healthy and patellofemoral pain syndrome (PFPS) patients by using noninvasive and precise methods of MRI.

Materials and Methods: 21 subjects were classified into two groups of healthy and patient. Patella deviation and sulcus angle were measured in 40 degrees flexion of knee using MRI.

Results: Patella lateralization in PFPS group is significantly higher than healthy one ($p=0.04$) while there was no significant difference in the sulcus angle.

Conclusion: Findings showed that the cause of pain due to patella lateralization could not be related to shallowing the trochlear groove but delaying or weakness of vastus medialis oblique (VMO) could be a risk factor for inappropriate displacement of patella.

Keywords: Patellofemoral pain syndrome, Patella lateralization, Sulcus angle, MRI